高速道路路面管理へのテクスチャの 適用性についての検討

七五三野 茂1、早川 泰史2

 1 正会員 博(工)日本道路公団 試験研究所 舗装研究室 室長 (町田市忠生 1-4-1) 2 正会員 日本道路公団 試験研究所 舗装研究室 (町田市忠生 1-4-1)

高速道路で測定された、SMTD (mm) と BPN をそれぞれマクロテクスチャとミクロテクスチャを示す指標として、これまでに得られている研究結果をもとにテクスチャにより計算されたすべり摩擦係数と実測値の比較を行い、テクスチャの路面管理への適用性を検討した。その結果、次の内容が明らかとなった。(1)密粒系舗装ではテクスチャの適用が可能であり、すべり摩擦の測定値の分布や舗装耐久性を考慮して管理目標値を設定できる。(2)半たわみ性舗装についてはデータ数に限りがあるが、テクスチャ適用の可能性があるものと考えられる。 (3)排水性舗装については、マクロテクスチャが著しく大きく密粒系舗装と同様の方法でテクスチャを適用することができなかった。今後、テクスチャの測定・評価方法を更に検討する必要がある。

Key Words: Macrotexture, Microtexture, Skid Resistance, PDI, SMTD, BPN, Monitor of Pavement

1. はじめに

高速道路では安全な路面の確保が最も優先される課題であり、舗装路面のすべり摩擦の測定、管理はその最も基本となるものである。このため、日本道路公団(以下、JHという)では2台の大型のすべり測定車を所有し、全国の高速道路網のすべり摩擦を定期的に測定、管理している。平成10年度末の高速道路の総延長は約6,400kmに達し、今後も車線延長が増加する中で合理的なすべり摩擦の測定、管理が必要である。

ところで、ヨーロッパの幾つかの国々では、すべり摩擦と密接な関係にあるといわれているテクスチャを路面管理の実務の中に取り入れており^{リカ}、テクスチャをすべり摩擦の測定と合わせて利用することにより効率的な路面管理が可能となることは明らかである。

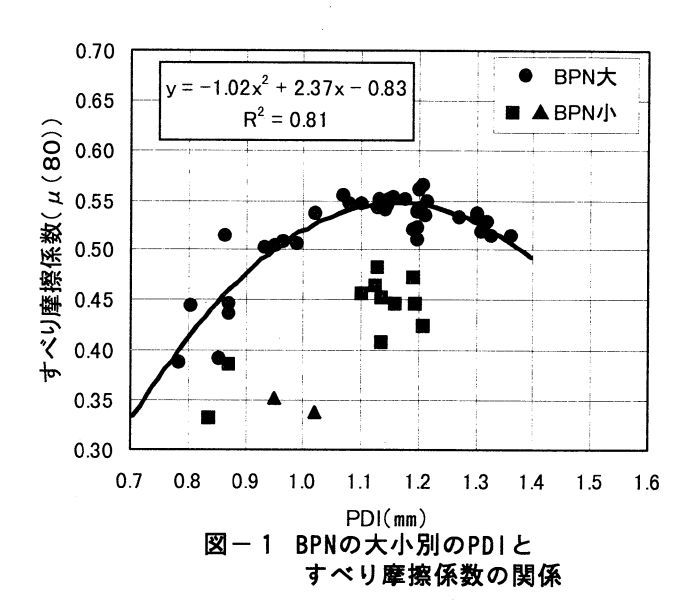
そこで、本研究ではすべり摩擦と密接な関係のあるテクスチャに着目し、筆者がこれまでに行ってきたテクスチャとすべり摩擦に関する研究内容に基づき、テクスチャをすべり摩擦測定の補助的手段として路面管理に適用できるかを検討したものである。なお、対象とする舗装はこれまでの経緯より高速道路上の密粒度アスファルト混合物を用いた通常舗装であるが、半たわみ性舗装および排水性舗装についても検討を試みた。

2. 研究方法

(1)目的と手法

本研究の目的はこれまでのテクスチャとすべり摩擦の関係に基づき、テクスチャを用いて推定したすべり摩擦係数と実測により得られたすべり摩擦係数を比較することによりテクスチャによる高速道路の路面管理が可能であるかを検討することである。この場合、すべり摩擦係数の計算値と実測値の間の相関関係を求めることではなく、計算値が実測値の測定範囲内でどのように分布しているかを調べることによりテクスチャによるすべり摩擦推定の適否を検討するものである。また、テクスチャについては路面管理への適用の観点から、実用的でかつ容易な測定方法により得られたものを用いることを前提とする。なお、本研究で取り扱うマクロテクスチャとミクロテクスチャはPIARCの定義3に示される内容である。

そのため、マクロテクスチャについては非接触のレーザーを搭載した MTM (Mini Texture Meter) により測定された SMTD (Sensor Measured Texture Depth) により評価する。これは、従来のサンドパッチングなどの容積法と比べて、MTM による測定は迅速であり、測定者による誤差も極めて少ないことや、これにより得られた平均プロファイル深さはすべり摩擦との相関が高いことなどが指



摘されており 9 、ISO 標準 5 となるとともに、ASTM の試験 法 6 として確立されているためである。

また、ミクロテクスチャについてはこれまでのところ直接測定、評価できる測定方法は見当たらないが、これまでの研究より振り子式スキッドテスタにより測定された BPN(British Pendulum Number)により間接的な評価が可能であることから、迅速さや測定者による誤差などの多少の課題があるものの、BPN により評価することとした。

(2) これまでの研究結果

これまで、定置式変位計により詳細に測定されたプロファイルについてヒストグラムによる評価を行うとともに、ヒストグラムより求められた平均プロファイル深さの一種である、PDI(Profile Depth Index)という指数とすべり摩擦係数の関係を分析することにより 7 、すべり摩擦係数とPDIの間に(1)式のような関係が得られた 8 。

$$\mu$$
 (80) = -1.02*PDI*² + 2.37*PDI* - 0.83 (1)

μ(80): すべり摩擦係数 (測定速度 80km/h)

PDI:ヒストグラムより求められた平均プロファイ

ル指数

また、すべり摩擦へのテクスチャの影響要因を分析することにより、マクロおよびミクロテクスチャがすべり 摩擦に与える影響について(2)式のような関係が得られた 8 。

$$SR = SR(PD) + SR(CN) \times Sp(MICT)$$
 (2)

SR : すべり摩擦係数 (測定速度 80km/h)

表-1 測定箇所と舗装種別

道路名	舗装種別	箇所数
仙台東部道路	タイプA	3
111日来印建始	タイプG	3
	タイプA	1
中央道	タイプB	2
十 大 垣	タイプG	7
	排水性舗装	4
	タイプA	5
常盤道	タイプG	5
	排水性舗装	5
東 名	タイプA	2
秋 田 道	タイプB	2
山 形 道	排水性舗装 5	
計		4 4

SR(PD) :マクロテクスチャに関係し、タイヤの貫入

深さがすべり摩擦に影響を及ぼす因子

SR(CN) : ミクロテクスチャに関係し、タイヤと路面

の接触数がすべり摩擦に影響を及ぼす因子

Sp(MICT): ミクロテクスチャの形状がすべり摩擦に

影響を及ぼす因子

分析の結果、SR(PD)、即ち、マクロテクスチャの影響が卓越するが、SR(CN)、即ち、ミクロテクスチャも影響を及ぼすことが明らかとなった。Sp(MICT) については BPNの大きさによりミクロテクスチャの影響を間接的に評価できることがわかった。

図-1は、PDIとすべり摩擦係数の関係においてSp(MICT)の影響を示したものである。▲印は、新たにBPNの低い個所での測定結果を追加したものである。バラツキは大きいものの、PDIが0.9近傍においてもPDIが1.2近傍と同様に、BPNが小さい場合は同じ大きさのPDIにも係わらず、すべり摩擦係数が約15%小さくなる傾向を示していることが確認された。

(3)測定内容

① 測定個所

表-1に測定個所と舗装種別を示す。測定個所については、秋田道以外は供用中の路線である。舗装種別については、タイプ A、B は密粒度混合物であり、 $2.5 \, \mathrm{mm}$ ふるい通過量はタイプ Aが $42 \, \mathrm{%}$ 程度、タイプ Bが $45 \, \mathrm{%}$ 程度である。タイプ G はギャップ粒度混合物であり、 $2.5 \, \mathrm{mm}$ ふるい通過量は $38 \, \mathrm{%}$ 程度である。なお、 $1 \, \mathrm{dm}$ 当たりの測定延長は $200 \, \mathrm{m}$ である。

② 測定方法

表-2 定置式変位計のレーザーセンサーの仕様

テクスチャの測定範囲	20 (±10) mm		
作動距離	56mm		
光スポット径	100~150μm		
テクスチャ分解能	± 1 0 μm		
応答周波数	4 kHz		

表-3 MTMの仕様

項目	仕 様	備考	
測定速度	歩行速度(約4km/h)	測定は乾燥路面とする	
測定範囲	2 0 mm	_	
粗さの出力	10m区間の粗さの 標準偏差	50m毎の平均も出力 (表示出力:0.01 mm)	
センサ	非接触形レーザセンサ	不可視放射線光線	
センサパルス	約2/1,000秒	_	
センサ分解能	1 0 μm	_	

a) すべり摩擦抵抗の測定(JHS222-1992)⁹⁾

すべり摩擦抵抗は、すべり摩擦測定車(車輪ロック方 式) により測定され、80km/h の走行時の縦すべり摩擦係 数に換算される。測定は、普通乗用車とほぼ同様の寸法 のラジアルタイヤの前面に散水して水膜を作りながら約 4kN の荷重を載荷して、測定軸及びブレーキにかかる負 荷を測定し、その負荷と載荷荷重の比からすべり摩擦係 数を算出するものである。測定は、キロポストに従い200m ごとに3秒間、外側わだち部中央にて測定用タイヤを ロックすることを繰り返して行われる。

b) プロファイルの測定

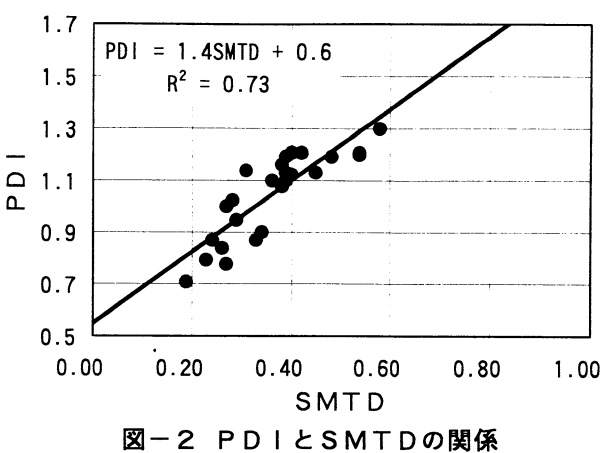
表-2 に示す仕様のレーザーセンサーを備えた定置式 変位計によりプロファイルを測定した。外側わだち部中 央線上に縦断方向に 50cm の範囲を1回に測定することが できる。レーザー光のスポット径が約0.1mmであるから、 1回の測定で5000点の(水平・垂直)変位データが測定 される。プロファイルの測定位置は、200m ごとのすべり 摩擦測定個所に合わせて、この区間の両端及び中央の3 個所とした。

c) マクロテクスチャの測定⁴

表-3 に示す仕様の MTM によりマクロテクスチャを測 定した。外側わだち部中央線上に縦断方向に連続的に測 定する。測定されたデータは、30cm ごとに RSM(Root Mean Square)が算出され、10m ごとの平均値として SMTD(mm)を 出力する。すべり摩擦抵抗の測定と同じく外側わだち部 中央にて 200m 間の測定を行い、平均値を算出する。

d) ミクロテクスチャの測定(JHS221-1992)⁹⁾

ミクロテクスチャは BPN により間接的に評価する。BPN は、高速道路ではすべり摩擦抵抗を評価するひとつの指 標として使用されており、測定は、振り子式ポータブル スキッドレジスタンステスターによる。BPN の測定個所 は、プロファイルの測定と同じ個所である。



3. 検討結果

(1)密粒系舗装におけるテクスチャによるすべり摩擦係

はじめに、ここではこれまでにテクスチャとすべり摩 擦の関係を調べる際の対象としてきた、密粒度アスファ ルト混合物を用いた舗装(密粒系舗装)について検討す る。

図-2は、すべり摩擦を測定した区間(66m)における密 粒舗装の SMTD の平均値と PDI の平均値の関係を示したも のである。この結果より、SMTDと PDI の間には相関関係 が見られ、両者には(3)式が成り立つ。

$$PDI = 1.4SMTD + 0.6$$
 (3)

筆者のこれまでの研究により、(2)式の関係をもと にすべり摩擦とテクスチャの関係は(4)式のように表 すことが可能である。

$$\mu(80) = \mathcal{F}(SMTD) \times \alpha \tag{4}$$

αはミクロテクスチャの程度によって変わる係数であ る。図―1に見られるように、BPN 小のグループのデー タ数が限られており分布幅も大きいが、以降では BPN 大 と BPN 小ではすべり摩擦が 15%程度異なるものとする。

そこで、(3)式と(1)式より SMTD とすべり摩擦係数の 関係を示すと、(5)式が得られる。

$$\mu$$
 (80) = $(-2.0 SMTD^2 + 1.5 SMTD + 0.2) \times \alpha$ (5)

 α : ミクロテクスチャの影響を示す係数で、BPN > 60の場合、 $\alpha = 1.0$ 、BPN ≤ 60 の場合、 $\alpha = 0.85$

(5)式に基づき SMTD によりすべり摩擦係数を計算した ものと、実測したものの関係を示したものが図ー3であ

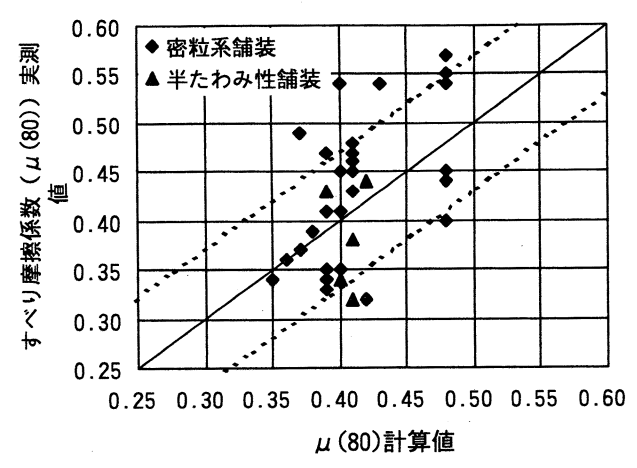


図-3 マクロ及びミクロテクスチャによるすべり 摩擦係数の計算値と実測値の関係

る。なお、平成6年度に測定された密粒系舗装のすべり 摩擦係数の平均値は 0.45 であり、標準偏差は 0.07 であ る。そこで、図中の 1:1 の線に平行な破線は標準偏差 の範囲を示したものである。マクロテクスチャのみなら ずミクロテクスチャを考慮した場合のすべり摩擦係数の 計算値は、一部で実測値よりも過小となるものも見られ るが、大部分のものが標準偏差を加味した範囲内あるい は破線付近に分布しており、特に計算値が大きくなるよ うな偏った傾向は見られない。

図-4は、(5)式のミクロテクスチャの影響を考慮しない($\alpha=1.0$)場合の計算値と実測値の関係を示したものである。この関係より、1:1 の線より下、即ち、計算値の方が実測値よりも大きくなるものが多く、分布幅も大きくなっている。この結果、SMTD、即ち、マクロテクスチャのみのではすべり摩擦を大きめに推定してしまう傾向があり、テクスチャによるすべり摩擦の推定が危険側となるケースが多くなることがわかる。

以上の結果より、密粒系舗装においては SMTD のみではなく BPN も含めてテクスチャを評価することにより、安全上支障なくテクスチャを路面管理に適用できる可能性があることがわかった。

(2)半たわみ性舗装におけるテクスチャによるすべり摩擦係数の推定

半たわみ性舗装は、セメントミルクが用いられるため表面の仕上げの状態によって施工直後のすべり摩擦が低くなることが多い 1011)。簡易な方法で施工時の路面の状態を確認することができればその後の対応を適切かつ迅速に行うことができる。そこで、2路線6個所で実施された測定結果をもとに施工直後における半たわみ性舗装へのテクスチャの適用性について検討した。なお、供用後に摩耗により表面のモルタル分が除去された場合は通常の密粒系舗装と同様にテクスチャによるすべり摩擦係

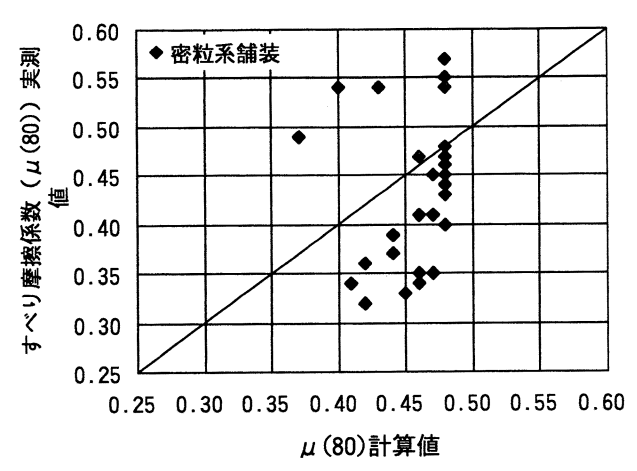


図-4 マクロテクスチャによるすべり摩擦係数の計算値と実測値の関係

数の推定が可能であると考えられるため、今回の検討対 象としていない。

図-3の▲印は、(5)式に基づき SMTDと BPN により半たわみ性舗装のすべり摩擦係数の計算値と施工直後の実測値の関係を示したものである。今回の測定結果では、データ数が限られるものの6箇所中5箇所のデータが標準偏差を加えた範囲内に分布しており、テクスチャによりすべり摩擦の状態を推定できることを示している。

今後、更にデータ数を増やして施工直後の半たわみ性舗装に対してすべり摩擦の推定にテクスチャを適用できるか検証する必要がある。

(3)排水性舗装におけるテクスチャによるすべり摩擦係数の推定

排水性舗装のマクロテクスチャは密粒系舗装と比べて著しく大きいため、密粒系舗装用に導かれた(5)式よりすべり摩擦係数を推定することは困難である。そこで、ここでは SMTD と BPN を個別にすべり摩擦係数と比較することにより、排水性舗装のテクスチャとすべり摩擦係数の関係を調べた。今回の測定の対象となった排水性舗装(表-1)は、すべて空隙率が約 20%、アスファルト量約5.0%である。また、供用前の路線については工事用車両等により舗装表面が多少摩耗を受けており、供用後の路面状態に比較的近いと思われる個所を選定した。

図-5は、BPN とすべり摩擦係数の関係を示したものである。密粒系舗装に見られるようにBPN が60を境にしてすべり摩擦係数の値に違いが見られない。また、図-6はSMTD とすべり摩擦係数の関係を示したものである。データ数が限られているものの両者の間には相関関係が見られる。なお、この関係にはBPN の大きさによる影響は見られない。

今回の測定では、排水性舗装のマクロテクスチャが著 しく大きく、マクロテクスチャのすべり摩擦への影響が

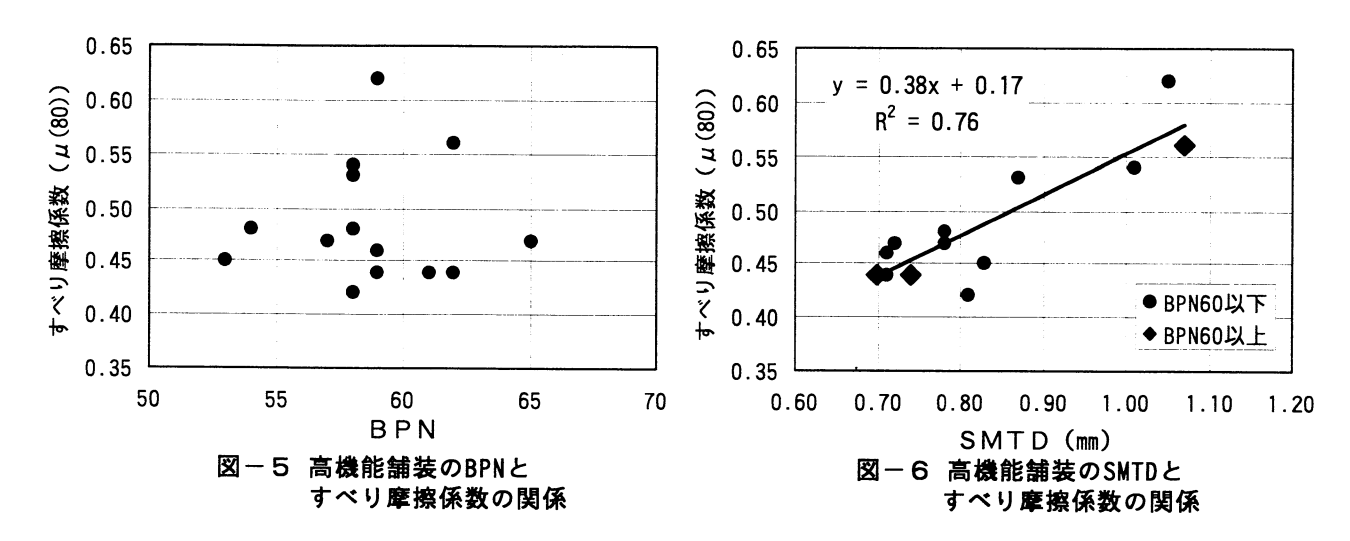


表-4 密粒系舗装のテクスチャ管理目標値の例

	摩擦係数 (80))	0.38	0.45	0.52	備考
SMTD (mm)	BPN>60	0.20 (0.30)	0.30 (0.50)	0.50 (1.00)	()はサンド パッチによる MTD(mm)
	BPN≦60	0.30 (0.50)	0.50 (1.00)	_	

卓越しミクロテクスチャの影響が見られない結果となった。排水性舗装では路面の水膜の形成が密粒系舗装と異なることからミクロテクスチャの影響をほとんど受けずマクロテクスチャのみで路面管理できる可能性があるが、SMTD の測定結果への空隙の影響なども含めて今後更に測定、評価方法の検討が必要である。

(4)管理目標值

以上より、密粒系舗装では SMTD と BPN を用いてテクスチャによる路面管理が可能であることが確認された。ここでは密粒系舗装についてテクスチャにより路面管理を行う場合の管理目標値について検討した。

はじめに、すべり摩擦係数(測定速度 80 km/h)については平成 6 年度の平均値である 0.45 を中心に、標準偏差 0.07 の分布幅を考慮して、下限を 0.38、上限を 0.52 とする。マクロテクスチャの管理目標値を求める手順については、まず、図-1 よりすべり摩擦係数と PDI の関係に基づきすべり摩擦係数から PDI を求め、次に図-2 の PDI と SMTD の関係から SMTD を求め、最後に小数第 1 位に丸めた。

表-4 に、密粒系舗装のテクスチャの管理目標値の例を示す。()内の値は、これまでの試験結果より得られた関係(MTD = 2.8 SMTD + 0.36)¹²⁾を基にサンドパッチングにより測定した平均テクスチャ深さ(MTD)を参考までに示したものである。ミクロテクスチャの影響が小さい($BPN \le 60$)場合、1 ランク上のマクロテクスチャの管理目標値を適用しなければならないことがわかる。

これまでの研究ではマクロテクスチャが大きくなってもタイヤの貫入深さがそれほど変わらなくなるためすべり摩擦の大きさは変化しなくなること 8 、マクロテクスチャは 2 2.5 18 2.5 18 2.5 18 2.5 18 2.5 18 2.5 18 2.5 18 2.5 18 2.5 18 2.5 18 2.0 18 2.5 18 2.5 18 2.0 18 2.0 19

そこで、ミクロテクスチャの影響が普通(BPN>60)の場合、マクロテクスチャ(SMTD)の管理目標値の範囲は0.20~0.50mmであり、ミクロテクスチャの影響が小さい(BPN≤60)場合、マクロテクスチャの管理目標値の範囲は0.30~0.50mmとなる。以上より、マクロテクスチャのみで路面管理する場合の管理目標値の範囲は0.30~0.50mmとなる。平均テクス チャ深さの範囲は0.50~1.0 mmであり、ドイツにおける高速道路用のマクロテクスチャ管理目標値の範囲³と結果的に同程度となった。

ただし、ここではマクロテクスチャについての望ましい管理目標値の範囲を示したものであり、マクロテクスチャ(SMTD)が 0.20mm あるいは 0.30mm を下回ったからといって即危険な状態ということではない。

4. まとめ

以上、SMTD および BPN をそれぞれマクロテクスチャとミクロテクスチャの指標として、テクスチャによるすべり摩擦係数の計算値と実測値の比較をとおして高速道路の路面管理へのテクスチャの適用性について検討した結果、以下の内容が明らかとなった。

- (1) マクロテクスチャのみを用いてすべり摩擦係数を計算した値は、実測値よりも大きく危険側となる場合が多いが、ミクロテクスチャも考慮することにより 実測値に近い値となる。
- (2) 密粒系舗装では、すべり摩擦係数の測定値の分布や 舗装の耐久性を考慮して管理目標値を設定し、テク スチャを路面管理に適用することが可能である。
- (3) 半たわみ性舗装では、データ数が限られるが、同様にテクスチャを路面管理に適用できる可能性がある。
- (4) 排水性舗装では、マクロテクスチャの影響が卓越しているためミクロテクスチャの影響がほとんど見られず、密粒系舗装と同様の方法でテクスチャを路面管理に適用することはできない。密粒系舗装と比べてマクロテクスチャが極めて大きいが、その測定方法や評価方法について検討が必要である。

5. おわりに

MTM や振り子式スキッドテスタといった機器により容易に測定されたテクスチャについて、高速道路上の密粒系舗装の路面管理に適用することが可能であることがわかった。新設あるいは供用中の路面のすべり摩擦の状態を推定できるため、すべり摩擦測定の補助手段として実務上で直ちに利用することが可能である。今後は、密粒系舗装についても更にデータ数を増やすとともに、施工

面積が急速に拡大している排水性舗装について、テクス チャの測定や評価方法についての検討を進める予定であ る。

参考文献

- Design Manual for Roads and Bridges, Volume 7
 Pavement Design and Maintenance, The Department of Transport, U.K., 1994.1
- 2) 七五三野 茂、アウトバーンにおける路面管理について、道 路建設、No. 585、1996. 10
- 3) 土木学会、舗装機能の評価法、1992.5
- 4) 日本道路協会、舗装試験法便覧別冊、1996.10
- 5) ISO 13473-1:1997, Characterization of Pavement Texture by Use of Surface Profiles—Part 1: Determination of Mean Profile Depth, ISO, 1997
- 6) ASTM E 1845-96. Standard Practice for Calculating Pavement Macrotexture Mean Profile Depth, ASTM, 1996
- 7) 七五三野、アスファルト舗装のテクスチャの特性とすべり 摩擦への影響、舗装工学論文集、第1卷、土木学会、1996.12
- 8) 七五三野、川村、高速域のすべり摩擦に与えるテクスチャ の影響要因分析、舗装工学論文集、第3巻、土木学会、1998.12
- 9) 日本道路公団、日本道路公団試験法、1992.4
- 10) 林、林田、光谷、半たわみ性舗装のすべり抵抗に関する実 験的検討、第22回日本道路会議論文集、1997.12
- 11) 早川、七五三野、金田、半たわみ性舗装の表面処理に関する検討、第23回日本道路会議論文集、1999.10
- 12) 七五三野 、小川、川村、高速道路におけるアスファルト舗装のテクスチャの特徴とすべり摩擦への影響、舗装 Vol. 32, No. 6、1997. 6
- 13) 松崎、佐藤、七五三野 、寒冷地におけるギャップ混合物の配合設計手法、ハイウェイ技術 No. 7 日本道路公団試験研究所、1997.4

A Study on Applicability of Texture to Pavement Surface Monitoring in Expressways

Shigeru SHIMENO, Yasushi HAYAKAWA

The SMTD(Sensor Measured Texture Depth) measured by Mini Texture Meter and BPN measured by the British Pendulum were used to estimate the coefficient of skid resistance and the estimated values were compared the measured skid resistance on expressways to testify the applicability of texture to the monitor of pavement surface. As the result, followings were made clear; (1)it is possible to apply the texture for monitoring dense-graded asphalt pavement, (2)it might be applicable the texture for monitoring semi-rigid pavement considering the limited number of data, (3) it is not possible to apply the method which is applicable to dense-graded asphalt pavement for drainage pavement due to the extraordinary large macrotexture and measurement technique.